

ВІСНИК ЛЬВІВСЬКОГО УНІВЕРСИТЕТУ

Серія фізична

ВИПУСК 36



Львівський національний університет імені Івана Франка

2003

Вісник Львівського університету. Серія фізична. 2003. Вип. 36.

Visnyk of Lviv University. Series Physical. 2003. № 36.

У "Віснику Львівського університету. Серія фізична" опубліковані статті з актуальних проблем теоретичної фізики, матеріалознавства, фізики металів, напівпровідників та діелектриків.

Для наукових працівників, аспірантів і студентів старших курсів.

Papers on current problems in theoretical physics, material science, physics of metal, semiconductors and insulators are published in the Visnyk.

For researchers, post-graduates and senior students.

Редакційна колегія: д-р фіз.-мат. наук, проф. *I. Вакарчук* (відп. ред.), д-р фіз.-мат. наук, проф. *Й. Стакхіра* (заст.відп.ред.), д-р фіз.-мат. наук, проф. *I. Болеста* (відп.секр.), д-р фіз.-мат. наук, проф. *L. Блахієвський*, д-р фіз.-мат. наук, проф. *M. Ваврух*, д-р фіз.-мат. наук, проф. *I. Половинко*, д-р фіз.-мат. наук, проф. *M. Романюк*, д-р фіз.-мат. наук, проф. *Z. Стасюк*, д-р фіз.-мат. наук, проф. *P. Якібчук*, канд. фіз.-мат. наук, проф. *R. Луців*.

Editorial board: *I. Vakarchuk (editor-in-chief), Y. Stakhira (associate editor), I. Bolesta (responsible editor), L. Blazhyevskyy, M. Vavrukh, I. Polovynko, M. Romanyuk, Z. Stasyuk, P. Yakibchuk, R. Luciv.*

Адреса редакційної редколегії:
Львівський національний університет
імені Івана Франка, фізичний
факультет,
вул. Драгоманова, 50,
79005 Львів
тел.(0322) 72-93-45, 79-43-29

Editorial address:
Ivan Franko National University
of Lviv
Physics department
Dragomanova st. 50
UA-79005 Lviv, Ukraine
tel. +(38) (0322) 72-93-45, 79-43-29

Відповідальний за випуск *I. Болеста*

Редактор *M. Мартиняк*

Комп'ютерна верстка *O. Дуда, C. Вельгоши*

Рекомендовано до друку Вченою Радою
Львівського національного університету імені Івана Франка

© Львівський національний університет імені
Івана Франка, 2003

ЗМІСТ

<i>A. Волошиновський.</i> Остовно-валентна люмінесценція широкошілинних діелектричних кристалів.....	3
<i>M. Ковальчук, M. Гірняк.</i> Дослідження фізичних умов формування фаунгоферових ліній у сонячній фотосфері.....	19
<i>O. Миколайчук, H. Луцьк, B. Присяжнюк, O. Буберняк.</i> Вплив умов осадження на структуру конденсатів Gd-Fe.....	24
<i>B. Грабовський, O. Дзендерюк, G. Дуцяк.</i> Визначення вмісту ^{137}Cs в окремих видах нижчих рослин та грибів Шацького національного природного парку (Волинська область).....	30
<i>J. Довгий, A. Франів, C. Тернавська.</i> Комбінаційне розсіяння світла в системі $\text{In}_x\text{Tl}_{1-x}\text{J}$: теоретико-груповий аналіз.....	34
<i>B. Купрієвич, O. Капітанчук, O. Шрамко.</i> Багатозарядові аніони фуллерену C_{60} : ікосаедрична симетрія та електронна кореляція.....	42
<i>H. Богуславська, Є. Венгер, Ю. Пасічник, K. Шпортько.</i> Дисперсійна залежність та просторова структура поля сингулярних поверхневих поляритонів в 6H-SiC.....	49
<i>B. Маєлюк, B. Різак, I. Різак.</i> <i>Ab initio</i> розрахунок фізичних властивостей аніонів безводних боратів $[\text{B}_3\text{O}_6]^{5-}$, $[\text{B}_3\text{O}_7]^{5-}$ і $[\text{B}_4\text{O}_9]^{9-}$	55
<i>G. Чуйко, B. Івченко, H. Дон.</i> Отримання гамільтонової матриці для кристалів класу $A_3^H B_2^V$ з симетрійних міркувань.....	61
<i>B. Рубіш, B. Лазур, M. Меліка.</i> Метод ВКБ і релятивістичні потенціальні моделі.....	67
<i>K. Шпортько, Ю. Пасічник, H. Богуславська, Є. Венгер.</i> Фононні поляритони ZnSiP_2	77
<i>A. Заворотний, B. Касьянюк.</i> Парето-оптимальна інтерполяція зображення об'єкта, сформованого оптичною системою.....	86
<i>C. Субота</i> Виникнення фазової дислокації під час самодії гаусового пучка світла в нематику.....	91
<i>O. Шпотюк, I. Гадзаман, P. Охримович, M. Ваків, I. Брунечъ.</i> Товстоплівкові терморезисторні елементи на основі твердих розчинів $(\text{Ni}, \text{Co}, \text{Mn}, \text{Cu})_3\text{O}_4$	97
<i>I. Вірт, M. Білик.</i> Шумова спектроскопія дефектів у кристалах CdTe.....	102
<i>T. Шаповал, L. Бекеньов, D. Богайчук.</i> Вплив особливостей будови $\text{Fe}_{4-y}\text{Al}_y\text{C}_x$ -фази на орієнтування α -марtesиту в сплавах Fe-Al-C.....	106
<i>M. Приходько, M. Лінтур, L. Маркович.</i> Емісія фотонів у разі взаємодії електронів з поверхнею лужно-галогенних кристалів.....	110
<i>I. Проценко, A. Чорноус, I. Шпетний.</i> Дифузійні процеси у двошарових металевих плівках.....	116
<i>M. Лінтур, H. Аль-Дургам, L. Маркович, I. Шароді, O. Штайнкуглер.</i> Електрон-фotonна емісія кремнію.....	123
<i>Ю. Гончаренко, F. Ківва.</i> Деякі моделі впливу сонячних спалахових подій на умови далекого тропосферного поширення радіохвиль.....	128
<i>D. Кайнц, O. Грабар, A. Горват.</i> Доменна структура кристалів сегнето-електриків-напівпровідників.....	134

УДК 537.533.2: 535.14: 546.132
PACS number(s): 07.65.Gj

ЕМІСІЯ ФОТОНОВ У РАЗІ ВЗАЄМОДІЇ ЕЛЕКТРОНІВ З ПОВЕРХНЕЮ ЛУЖНО-ГАЛОГЕННИХ КРИСТАЛІВ

М. Приходько, М. Лінтур, Л. Маркович

Ужгородський національний університет,
88000, м. Ужгород, вул. Волошина, 54, Україна
e-mail: QEL@univ.uzhgorod.ua

Методом електрон-фотонної спектроскопії досліджено спектральний склад оптичного випромінювання, що виникає під час бомбардування електронами середніх енергій (100-1000 еВ) поверхонь деяких лужно-галогенних кристалів, зокрема KBr, LiF, NaCl і NaF. Визначено два види досліджуваного випромінювання, різні за місцем локалізації і механізмом генерації. Це характеристичне випромінювання атомів лугу, розпорошених у збудженому стані бомбардувальним електронним пучком і неперервне випромінювання в широкій ділянці довжин хвиль, емітоване безпосередньо бомбардованим поверхнем. Проаналізовано можливі канали утворення цього випромінювання. Виміряно залежності інтенсивності характеристичного і неперервного випромінювання від параметрів пучка електронів та від температури досліджуваного зразка.

Ключові слова: електрон-фотонна емісія, розпорошення, лужно-галогенні кристали.

Процеси розпорошення лужно-галогенних кристалів (ЛГК) електронними пучками вивчали впродовж багатьох десятиріч з огляду на їхне широке практичне застосування [1,2]. Лужно-галогени часто використовують і як модель для вивчення непружних процесів, оскільки вони мають просту кристалографічну й електронну структуру. До того ж, для ЛГК виявлено високу ефективність розпорошення електронами [3,4]. Безпосереднє вибивання атомів мішені електронами первинного пучка неможливе. Тому згадане вище розпорошення пояснюють як багатостадійний процес, пов'язаний з розпадом збуджених станів кристала або поліатомних комплексів на поверхні. Запропоновано кілька моделей розпорошення [5-8], проте жодна з них не може пояснити всі експериментальні дані чи описати деталі фізичних процесів, що відбуваються в разі розпорошення цих матеріалів. У ЛГК виникає також емісія фотонів безпосередньо з опромінюваної електронами поверхні. Причиною такого випромінювання є збудження дефектів у кристалі. Типовими дефектами структури у ЛГК є F-центрі і сукупності F-центрів [9].

Ми дослідили оптичне випромінювання (200-800 нм), що виникає в разі опромінення поверхні ряду ЛГК (NaCl, KBr, LiF, NaF) електронами з енергіями

50-1000 еВ і густину струму 0,1-5 мА/см². Вивчено види випромінювання, що виникають у спектрі електрон-фотонної емісії (ЕФЕ) ЛГК, а також залежності характеристик випромінювання від параметрів бомбардувального пучка і температури досліджуваних зразків.

Інтерес до дослідження ЛГК оптичним методом зумовлений перспективою одержання за характеристиками фотонної емісії інформації, яка важлива для з'ясування деталей механізмів емісії фотонів як із кристала, так і відлітаючими збудженими частинками (розпорощеними або десорбованими).

Експерименти проводили на електрон-фотонному спектрометрі, виготовленому на базі надвисоковакуумної системи УСУ-4 [10]. Схема експерименту показана на рис. 1. Як мішень використовували монокристали ЛГК (KBr, LiF, NaCl і NaF). Поверхню мішеней перед встановленням у вакуумну камеру взаємодій шліфували і полірували. Подальше очищення мішені виконували у вакуумній камері нагріванням зразка до температури близько 500° С і опроміненням енергетичними електронами. Тиск залишкових газів у камері зіткнень становив $P_{\text{зат}} \leq 5 \cdot 10^{-9}$ Тор. Мішень бомбардували пучком моноенергетичних електронів із зміною їхньої енергії E_p від кількох до 1000 еВ. Густина струму електронів змінювалась від 0,1 до 5 мА/см². Діаметр пучка електронів був незмінним і становив ≈ 4 мм. Бомбардування досліджуваного зразка виконували під кутом $\alpha = 15^\circ$ відносно нормалі до поверхні. Кут спостереження вибиралі близьким до нормалі ($\theta \approx 0^\circ$). Температуру мішені в інтервалі 20-500° С змінювали за допомогою підігрівного елемента і контролювали термопарою.

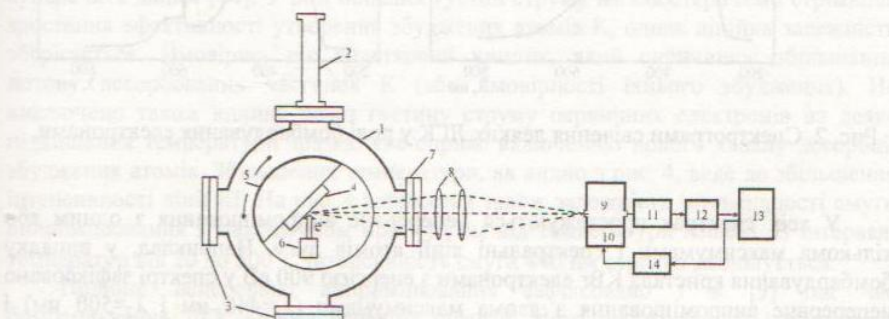


Рис. 1. Схема експерименту. 1 - робоча камера; 2 - шток шлюзового пристрою; 3 - допоміжні фланці; 4 - досліджуваний зразок; 5 - робочий стіл; 6 - електронна гармата; 7 - сапфірове віконце; 8 - конденсор; 9 - монохроматор; 10 - кроковий двигун обертання дифракційної гратки; 11 - фотопомножувач; 12 - підсилювач - дискримінатор; 13 - потенціометр; 14 - блок керування кроковим двигуном.

Випромінювання в діапазоні довжин хвиль від 200 до 800 нм аналізували за допомогою світлосильного монохроматора МДР-12. Вхідна і вихідна щільнини монохроматора дорівнювали 0,25 мм, що забезпечувало роздільну здатність 4 Å. Виділене монохроматором випромінювання детектували фотоелектронним помножувачем типу ФЭУ-106, який працював у режимі підрахунку окремих

фотоелектронів. Записували спектри за допомогою електричного потенціометра КСП-4.

Спектрограми свічення, яке емітуються під час бомбардування електронами поверхонь деяких ЛГК при кімнатній температурі, зображені на рис. 2.

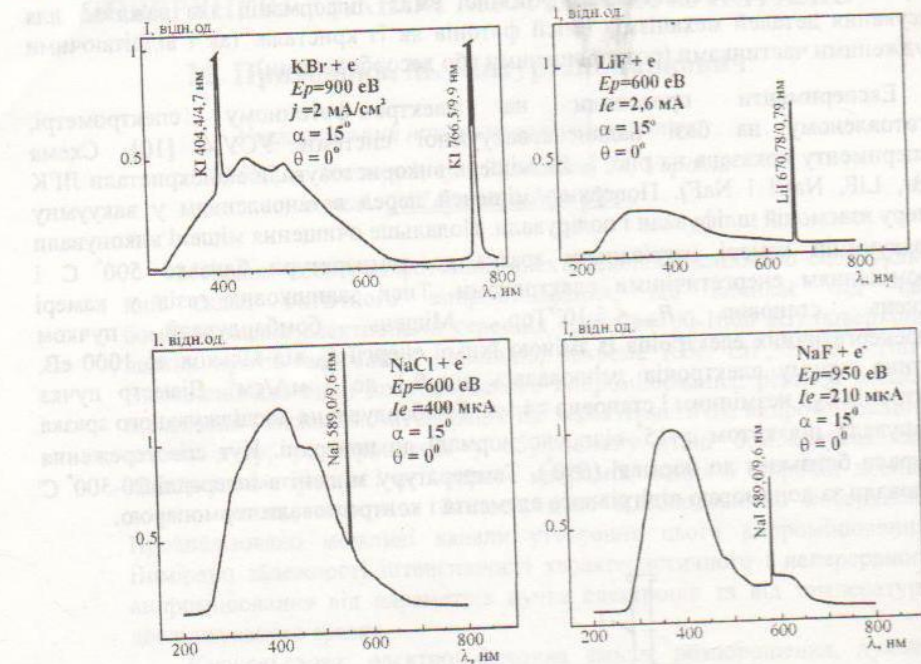


Рис. 2. Спектрограми свічення деяких ЛГК у ролі бомбардування електронами.

У всіх спектрах простежуються неперервне випромінювання з одним або кількома максимумами і спектральні лінії атомів лугу. Наприклад, у випадку бомбардування кристала KBr електронами з енергією 900 eV у спектрі зафіксовано неперервне випромінювання з двома максимумами ($λ_1 \approx 440$ нм і $λ_2 \approx 500$ нм) і спектральні лінії атомів K. Це два дублети KI 766,5/9,9 нм і KI 404,4/4,7 нм. У спектрі свічення кристала NaCl під час бомбардування його електронами з енергією 600 eV, наявне неперервне випромінювання з двома максимумами при 400 і 480 нм та дублет ліній NaI 589,0/9,6 нм, що їх емітують розшаровані збуджені атоми Na, що узгоджується з результатами [11]. У спектрі ЕФЕ NaF ($E_p = 950$ eV) простежується неперервне випромінювання з трьома максимумами ($λ_1 \approx 370$ нм, $λ_2 \approx 480$ нм, $λ_3 \approx 610$ нм) і спектральний дублет NaI 589,0/9,6 нм. У всіх спектрах нема випромінювання збуджених атомів галогену. Шляхом спостереження випромінювання під різними кутами до поверхні (у тім числі уздовж поверхні) з'ясовано, що спостережуване неперервне випромінювання емітуються безпосередньо бомбардуваною поверхнею. Водночас випромінювання збуджених атомів лугу локалізоване в прилеглому до поверхні просторі, тобто воно емітується відлітаючими від поверхні збудженими атомами.

На рис. 3 показано залежності інтенсивності ліній КІ 766,5 і КІ 404,4 нм від густини струму (а) й енергії первинних електронів (б) для кристала KBr.

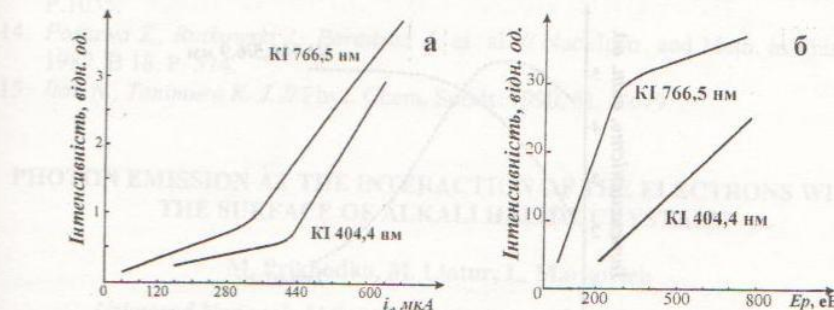


Рис. 3. Залежності інтенсивності ліній КІ 766,5 нм і КІ 404,4 нм від густини струму (а) і енергії первинних електронів (б) для кристала KBr.

З рис. 3, а видно, що інтенсивність спектральних ліній при порівняно малих i_e залежить лінійно від густини струму первинних електронів, а це свідчить, що переважає механізм формування збуджених станів атомів K в одноразових актах зіткнень. Тобто немає помітного внеску збудження уже розпорошених атомів K первинними електронами в газовій фазі. Це узгоджується з результатами [11-13] і суперечить даним [14]. У разі більших густин струму ми спостерігаємо стрімко зростання ефективності утворення збуджених атомів K, однак лінійна залежність зберігається. Ймовірно, діє додатковий чинник, який спричиняє збільшення потоку десорбованих частинок K (або ймовірності їхнього збудження). Не виключено також впливу через густину струму первинних електронів на деякі підвищення температури зразка, яке сприяє включенням нового каналу десорбції збуджених атомів. Збільшення температури, як видно з рис. 4, веде до збільшення інтенсивності ліній KІ. На рис. 4 зображена також залежність інтенсивності смуги випромінювання з максимумом при 440 нм від температури мішені. В інтервалі температур від 20 до 500°C інтенсивність смуги 440 нм стрімко зменшується.

Подібне неперервне випромінювання зафіксовано і в [9] під час бомбардування ЛГК іонами середніх енергій. Його пов'язували з наявністю в кристалі дефектів типу F-центрів різної кратності та радіаційним розпадом самозахоплених екситонів. Механізм утворення дефектів іонізуючим випромінюванням у ЛГК може бути таким. Заряджена частинка, рухаючись усередину кристала, на додаток до зміщення іонів із їхніх позицій у гратці, може створювати електрон-діркові пари (екситони), що призводить до формування самозахопленого екситона, тобто електрона, кулонівськи зв'язаного з ковалентнозв'язаним діатомним галогенним молекулярним іоном X₂ [9]. Після кількох пікосекунд самозахоплений екситон релаксує, унаслідок чого може утворюватися фотон чи фонон, або шляхом безвипромінювального переходу формуватися галогенна вакансія (F-центр) чи міжвузловий атом галогену (H-центр). З'ясовано, що при кімнатній температурі і вище процеси формування F-центрів у ЛГК переважають [15]. Певно, ці ж механізми емісії неперервного випромінювання виникають і у випадку бомбардування ЛГК електронами. В

такому разі зменшення інтенсивності неперервного випромінювання, яке ми спостерігаємо з підвищеннем температури кристала (див. рис. 4), можна пояснити відпалюванням дефектів у кристалі.

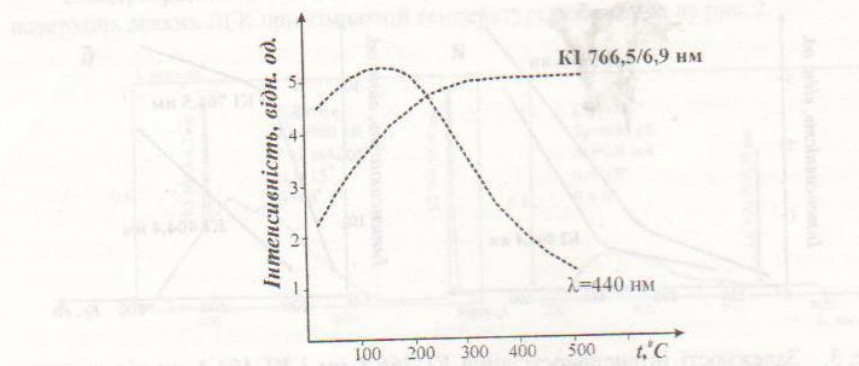


Рис. 4. Залежність інтенсивності дублета ліній КІ 766,5/6,9 нм та смуги випромінювання з максимумом при 440 нм від температури мішени.

Отже, отримано дані про спектральний склад оптичного випромінювання під час бомбардування електронами поверхонь деяких ЛГК, вивчено залежність його характеристик від параметрів пучка первинних електронів та від температури мішени. З'ясовано, що в спектрі наявні два види випромінювання, які є різними за природою випромінювачів, місцем локалізації та механізмом генерації. Це по-перше, неперервне випромінювання, локалізоване на поверхні кристала і пов'язане з утворенням самозахоплених экситонів і збудженням F-центрів та комплексів F-центрів кристала і, по-друге характеристичне випромінювання атомів лугу, які десорбуються з поверхні у збудженному стані. Десорбовані атоми галогену у збудженному стані не зафіковані.

1. Tolk N. H. DIET I / Eds. W. Brening and D. Menzel DIET-1. Berlin, 1983.
2. Itoh N., Tanimura K. // Radiat. Eff. 1986. 98. P. 269.
3. Szymonski M., Rutkowski J., Poradzisz A. et al. DIET II / Eds. W. Brening and D. Menzel Berlin, 1984. P. 160.
4. Neidhart N., Sporn M., Schmid M., Varga P. // Nucl. Instr. and Meth. in Phys. Res. 1995. B101. P. 127.
5. Pooley D. // Solid State Commun. 1965. 3. P. 241.
6. Hersh H.N. // Phys. Rev. 1966. 120. P. 679.
7. Itoh N., Saidoh M. // Jurnal Phys. (Paris) 1973. 34. P. 101.
8. Williams R. T., Song K. S., Faust W. L., Leung C. H. // Phys. Rev. 1986. B33.
9. Yan Q., Barnes A.Y., Seifert N., Albridge R., Tolk N. // Nucl. Instr. and Meth. in Phys. Res. 1996. B115. P. 415.
10. Лінтур М. І., Маркович Л. М., Маслюгін В. О. та ін. // Наук. вісн. Ужгород. ун-ту. Серія Фізика. 2001. №10. С. 191-194.

11. Дробнич В. Г., Маслюгин В. А., Охрименко С. В., Поп С. С. // Изв. Акад. Наук. Серия Физика. 1998. 62, №4. С. 836.
12. Tolk N. H., Feldman L. C., Kraus J. S. et al. // Phys.Rev.Lett. 1981. 46. P. 134.
13. Hudson L. T., Tolk N. H., and Bao C., Nordlander P. et al. // Phys.Rev. 2000. B 62. P.1035.
14. Postawa Z., Rutkowski J., Poradzisz A. et al. // Nucl.Instr. and Meth. in Phys.Res. 1987. B 18. P. 574.
15. Itoh N., Tanimura K. J. // Phys. Chem. Solids. 1990. 51. P.679.

PHOTON EMISSION AT THE INTERACTION OF THE ELECTRONS WITH THE SURFACE OF ALKALI HALIDE CRYSTALS

M. Prikhodko, M. Lintur, L. Markovich

*Uzhgorod National University, Department of Quantum Electronics
Voloshina Str. 54, 88000 Uzhgorod, Ukraine
e-mail: QEL@univ.uzhgorod.ua*

Electron-photon spectroscopy was employed to investigate the photon emission from alkali halide crystals, such as KBr, LiF, NaCl and NaF, bombarded by electron with medium energy (100-1000 eV). In the spectra two species of light emission with different nature, localization and mechanism of the generation were detected. These are the characteristic emission of the alkali atoms sputtered in excited state by the bombarding electron beam and continuous emission in wide range of the wave - lengths emitted by the surface bombarded. Possible channels of creating this light emission were analyzed. The intensities of characteristic and continuity emission versus energy, current density of bombarding electrons and target temperature were investigated.

Key words: electron-photon emission, sputtering, alkali halide crystals.

Стаття надійшла до редколегії 23.05.2002
Прийнята до друку 06.02.2003